

*Легкоплавкие цветные стекла для декорирования листового стекла // Стекло и керамика. – 2005. – № 10. – С. 25–26. 6. Вахула Я.І., Бесага Х.С., Козій О.І. ІЧ-дослідження скла системи  $Na_2O-SiO_2-MoO_3-P_2O_5$  // Тез. II наук.-практ. конф. «Сучасні тенденції розвитку виробництва силікатних матеріалів. – Львів, 25–26 вересня 2008. – С. 80–82. 7. Мацигін М.Я., Бесага Х.С., Вахула Я.І. Приготування фосфатних склоутворювальних розчинів із забарвлюючими компонентами // Вісн. Нац. ун-ту «Львівська політехніка». – 2007. – № 590: Хімія, технологія речовин та їх застосування. – С. 320. 8. О Мазурин.В., Стрельцина М.В., Швайко-Швайковская Т.П. Свойства стекол и стеклообразующих расплавов: Справочник. Т. III, ч. 2: Трехкомпонентные несиликатные окисные системы. – Л.: Наука, 1979. – 486 с. 9. Павлушин Н.М., Журавлев А.К. Легкоплавкие стекла. – М.: Энергия, 1970. – 144 с. 10. Вахула Я.И., Мацигін М.Я., Бесага К.С., Жук Л.В. Процессы, протекающие в бор- и молибденсодержащих фосфатных стеклообразующих растворах // Журнал прикладной химии. – 2008. – Т. 81, вып. 5. – С. 718–720. 11. ИК-спектроскопия в неорганической технологии / Р.Ю. Зинюк, А.Г. Балыков, И.Б. Гаврыленко, А.М. Шевяков. – Л.: Химия, 1983. – 160 с.*

**УДК 666.762**

**I.В. Луцюк, I.Д. Борщишин**

Національний університет “Львівська політехніка”,  
кафедра хімічної технології силікатів

## **АЛЮМОМАГНЕЗІАЛЬНА НАНОДИСПЕРСНА ШПІНЕЛЬ, ЛЕГОВАНА ЙОНAMI ХРОМУ (ІІІ)**

©Луцюк I.В., Борщишин I.Д., 2010

**Розглянуто можливий механізм ізоморфного заміщення в структурі шпінелі. Цитратно-гелевим методом одержано нанодисперсний порошок шпінелі. Встановлено, що монофазність порошку досягається за співвідношення  $Al_2O_3/MgO=3:1$ .**

**It was analysed the possible mechanism of the isomorph in the spinel structure. The spinel ultraline powder is obtained by citrate-gel method. It was determined that monophase of the powder attain under the correlation  $Al_2O_3/MgO=3:1$ .**

**Постановка проблеми та її зв’язок з важливими науковими завданнями.** Шпінелі є важливими мінералами, що входять до складу багатьох промислових матеріалів. Однією зі сфер застосування алюромагнезіальної шпінелі  $MgAl_2O_4$  є радіокераміка, де вона слугує як підклад для нанесення плівок GaAs, ZnSe [1]. Деякі з цих мінералів забарвлені в інтенсивні кольори й використовуються як пігменти в керамічних фарбах. Отримати порошкоподібну шпінель із наперед заданою дисперсністю у разі застосування традиційних методів синтезу порошків за низьких температур практично неможливо.

**Аналіз останніх досліджень і публікацій.** Цитратно-гелевий метод дає можливість синтезувати нанорозмірні, однорідні за розмірами частинок і хімічним складом порошки [2]. Крім того забезпечується високий ступінь повноти перебігу реакцій на всіх стадіях синтезу вихідного порошку.

Автори [3, 4] отримали синтетичну алюромагнезіальну шпінель під час використання нетрадиційних способів синтезу тонкодисперсних керамічних порошків: термічним розкладом солей, співосадженням компонентів, золь-гель та кріохімічним методами. Одні з цих методів дозволяють одержати шпінель за порівняно низької температури ( $\sim 900^{\circ}C$ ), однак отриманий порошок не є монофазним. Використовуючи інші методи, цей недолік можна усунути за рахунок

підвищення температури вище 1300 °C.

**Метою роботи** є отримання нанодисперсної монофазної шпінелі складу  $MgAl_2O_4$  на основі цитратно-гелевого методу та її легування іонами хрому (ІІІ).

**Результати дослідження.** Вихідними матеріалами для синтезу алюомагнезіальної шпінелі були водорозчинні солі відповідних компонентів:  $Al(NO_3)_3 \cdot 9H_2O$  та  $Mg(CH_3COO)_2 \cdot 4H_2O$  як найбільш доступні й ефективні [5]. Крім того, згідно з даними роботи [5], саме за участю цих солей температура кристалізації шпінелі в системі  $Al(NO_3)_3 - Mg(CH_3COO)_2$  є найнижчою і становить 690–730 °C. Співвідношення оксидів  $Al_2O_3/MgO$  становило 1:1, 2:1 та 3:1. Для желатинізації водних розчинів використовувалася цитратна кислота. Із врахуванням ізоморфного ряду Вернадського та енергетичної теорії ізоморфізму [6] як легуючий додаток було вибрано іони  $Cr^{3+}$ , який вводили у вихідний розчин через розчинну сіль хрому  $Cr(NO_3)_3 \cdot 9H_2O$ . Його кількість у складі гелю в переважному розчині становила 4 та 10 мас. %. Одержані гелі нагрівали до 1000 °C із витримкою при кінцевій температурі 2 год.

Отримані порошки досліджували за допомогою рентгенографічного аналізу та просвічувальної електронної мікроскопії (ПЕМ) на приладі JEM-100CX. Розрахунок та уточнення параметрів комірки шпінелі проводили при використанні програм ORIGIN та POWDER. До того ж уточнювались параметри та координати атомів, ізотропні температурні поправки та коефіцієнти нормування.

Дані рентгенофазового аналізу синтезованих порошків показали, що отримані сполуки мають будову шпінелі, хоча й містять деяку кількість домішок. Так, порошки, в яких співвідношення  $Al_2O_3/MgO$  становить 1:1 та 2:1, містять до 25 % периклазу  $MgO$  ( $d/n = 0,2108; 0,2431; 0,1213; 0,0939$ ), який не входить у структуру шпінелі.

Відомо [7], що основним дифундувачем іоном під час реакції твердофазового синтезу шпінелі є  $Mg^{2+}$ . Для підвищення активності цього іона по відношенню до  $Al^{3+}$  у вихідний розчин було введено іони  $Li^+$  у кількості 1 мас. %. Однак кількість периклазу зменшилась лише на 1–3 %.

За даними [8] істотне підвищення активності  $MgO$  спостерігається в інтервалі температур 900–1100 °C. У результаті досліджень встановлено, що повна ліквідація периклазу можлива при співвідношенні  $Al_2O_3/MgO=3:1$  (зразок Ш-4), температурі синтезу 1000 °C та витримці при цій температурі 2 год. Однак на рентгенограмах спостерігаються лінії корунду  $Al_2O_3$  ( $d/n = 0,255; 0,209; 0,160$ ). Параметр комірки такої шпінелі становить 8,0630 Å, а електронна густина – 3,6052 г/см<sup>3</sup>.

Порошок шпінелі зі співвідношенням  $Al_2O_3/MgO = 3:1$  легували іонами  $Cr^{3+}$  у кількості 10 та 4 мас. %. Як видно з рис. 1 рентгенограми обох зразків істотно відрізняються. Основною фазою для Ш-5 (рис. 1, а) є  $Cr_2O_3$ , для другого (рис. 1б) – шпінель  $MgAl_2O_4$ . Окрім останньої, зразок Ш-6 містить 3–5 % корунду  $Al_2O_3$ .

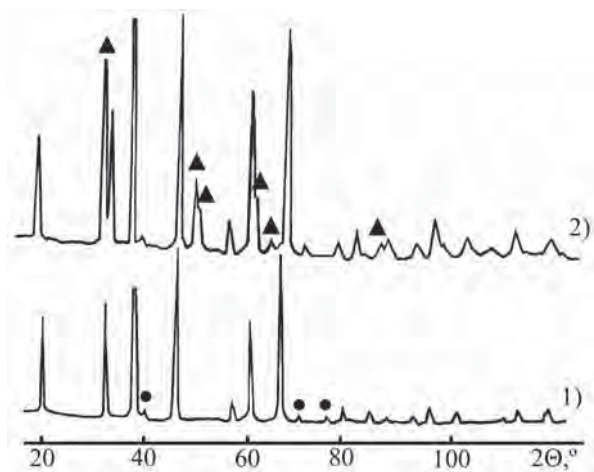


Рис. 1. Дифрактограми порошків з додаванням  $Cr^{3+}$  в кількості:

а – 10 мас. % (Ш-5); б – 4 мас. % (Ш-6);

● –  $Al_2O_3$ ; ▲ –  $Cr_2O_3$

Такі властивості реальних кристалів, як механічні, діелектричні, дифузія і фотопровідність здебільшого визначаються наявністю дефектів решітки. Основною причиною утворення дефектів за порівняно низьких температур є наявність домішкових атомів. Якщо їхній заряд відрізняється від заряду заміщених або основних йонів, то умови збереження електронейтральності потребують утворення відповідної кількості дефектів (катіонних або аніонних вакансій). Розміри катіонів  $Mg^{2+}$ ,  $Al^{3+}$  та  $Cr^{3+}$  становлять 0,66 Å, 0,51 Å та 0,63 Å відповідно.

Відомо [6], що для досконалого ізоморфізму необхідно, щоб різниця у величині йонних радіусів основного та легуючого компонентів не перевищувала 15 %. У протилежному випадку відбуватиметься обмежене заміщення, або воно відбудеться при високій температурі. Ця умова виконується тільки для  $Mg^{2+} \leftrightarrow Cr^{3+}$  ( $\Delta r = 5\%$ ). Щодо  $Al^{3+} \leftrightarrow Cr^{3+}$ , то ця різниця становить 19 %, що перевищує допустиме значення на 4 %.

Враховуючи вищевикладене, було розглянуто три варіанти заміщення, а саме:  $Cr^{3+}$  входить

- 1) лише в позицію  $Mg^{2+}$ ;
- 2) лише в позицію  $Al^{3+}$ ;
- 3) в позицію  $Mg^{2+}$  і в позицію  $Al^{3+}$ .

Уточнення позицій атомів Mg/Cr в усіх випадках показують можливість часткового входження йонів  $Cr^{3+}$  у структуру шпінелі. Максимальна їх кількість (3,99 %) входить у структуру шпінелі за третім варіантом (таблиця).

### Результати рентгеноструктурного аналізу

Варіант заміщення	Густина, г/см <sup>3</sup>	Кількість $Cr^{3+}$ , %	Параметр комірки, Å
1	3,6153	0,59	8,0640
2	3,6182	0,82	8,0640
3	3,6774	3,99	8,0639

Отримані шпінелі мають рожевий колір (чим більший вміст  $Cr^{3+}$ , тим насиченніший відтінок). Електронно-мікроскопічним аналізом встановлено, що розміри частинок є в межах 60–70 нм, а кристали мають шестигранну форму (рис. 2).

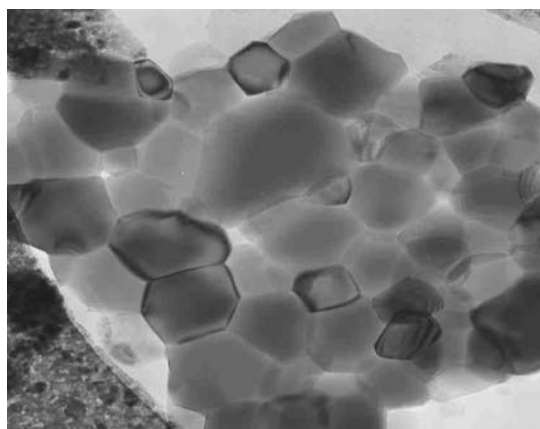


Рис. 2. Мікрофотографія порошку шпінелі (ІІІ-4) ( $\times 36000$ )

**Висновки.** У системі  $MgO-Al_2O_3$  утворюється алюмомагнезіальна шпінель складу  $MgAl_2O_4$ . Методом рентгенографічного аналізу встановлено, що вказані порошки ( $Al_2O_3/MgO=1:1$  і  $1:2$ ),крім основної фази шпінелі, містять до 25 % периклазу. При співвідношенні оксидів  $Al_2O_3/MgO$ , що становить 3:1, одержано монофазний продукт. Встановлено, що йон  $Cr^{3+}$  частково входить у структуру шпінелі в позиції  $Mg^{2+}$  і  $Al^{3+}$  за механізмом ізоморфного заміщення.

1. Корзо В.Ф., Курочкин В.А., Демін В.П. Пленки из элементоорганических соединений в радиоэлектронике. – Г.: Энергия, 1973. – 192 с. 2. Синтез и исследование порошков нанокристаллической шпинели  $CoAl_2O_4$ . Luo Hong-yu, Tian Xi-ke, Yang Chao, Pi Zhen-bang. Digiul kexue=Earth Sc.:

*Zhongguo dizhi daxue xuebao. – 2005. – № 2. – С. 191–194.* 3. Mechanical activation of heterogeneous sol-gel precursors for synthesis of  $MgAl_2O_4$  spinel. Ye Guotian, Troczynski Tom. *J. Amer. Ceram. Soc.* – 2005. – 88, № 10. – С. 2970–2974. 4. Synthetic spinel. Bozadgiev L., Dimova T., Pavlov R., Doinov M. *Interceram.* – 2006. – 55, № 3. – С. 158, 160–161. 5. Андрианов Н.Т. Золь-гель метод в технологии оксидных материалов (обзор) // Стекло и керамика. – 2003. – № 3. – С. 17–22. 6. Макаров Е.С. Изоморфизм атомов в кристаллах. – М.: Атомиздат, 1973. – С. 226–227. 7. Chauvin N., Albid T., Mazoyer R., at al. In-pile studies of inert matrices with emphasis on magnesia and magnesium aluminate spinel // *J. Nucl. Mater.* – 1999. – Vol. 279. – P. 91–97. 8. Шапоров В.П., Булат А.Е. Активизация окиси магния методом циклического изменения температуры // Изв. АН СССР. Неорганические материалы. – 1980. – Т. 16. – С. 1430–1434.

УДК 666.293:666.11.01

А.С. Романів, Я.І. Вахула\*, О.І. Козій

Національний університет “Львівська політехніка”,

кафедра техногенно-екологічної безпеки,

\* кафедра хімічної технології силікатів

## РОЗРОБЛЕННЯ ОПТИМАЛЬНОГО РЕЖИМУ ФОРМУВАННЯ СКЛОКРИСТАЛІЧНОГО ПОКРИТТЯ НА МЕТАЛЕВОМУ ПІДКЛАДІ

© Романів А.С., Вахула Я.І., Козій О.І., 2010

На основі результатів диференційно-термічного аналізу скла та електронно-мікроскопічного аналізу структури покриття, встановлено оптимальний режим кристалізації склопокриття системи  $SiO_2$ – $BaO$ – $Al_2O_3$ – $B_2O_3$ – $Li_2O$ – $K_2O$  на металевому підкладі.

Based on the differential thermal and electron-microscopic analysis of structure coverage the optimal mode of crystallization of the glass coating system  $SiO_2$ – $BaO$ – $Al_2O_3$ – $B_2O_3$ – $Li_2O$ – $K_2O$  of metal lining has been determined.

**Постановка проблеми.** Серед значної кількості електроізоляційних матеріалів важливе місце займають склопокриття [1]. Однак, крім високих показників діелектричних властивостей, покриття повинні характеризуватися підвищеними жаростійкістю, термостійкістю, а також стійкістю до дії агресивних середовищ. Цим вимогам можуть відповідати склокристалічні покриття [2].

**Аналіз останніх досліджень і публікацій.** На основі одержаних результатів [3] встановлена кристалізаційна здатність сітки складів скла системи  $SiO_2$  –  $BaO$  –  $Al_2O_3$  –  $B_2O_3$  –  $Li_2O$  –  $K_2O$ . Автори визначили оптимальний склад скла для одержання склокристалічного покриття на металевому підкладі за розчиновою технологією. Унаслідок зміни основних технологічних параметрів (температури і тривалості термооброблення) та хімічного складу на границі піклад-покриття процес кристалізації тонкого шару скла на металевому підкладі має особливості. Не менш важливим є встановлення ступеня закристалізованості, розміру кристалів і складу продуктів кристалізації, що значною мірою визначають відповідність покриття до пікладу за властивостями і умовами експлуатації.

**Мета роботи** – встановити оптимальні технологічні параметри режиму формування склокристалічного покриття електроізоляційного призначення на металевому підкладі.

Формування склопокрить за розчиновою технологією складається з таких етапів:

- синтез склотовірного колоїдного розчину, оксидний склад якого відповідає складу визначеного покриття;
- нанесення розчину на нагріту поверхню металевого пікладу методом пульверизації;
- термічне оброблення у вибраному температурно-часовому режимі.